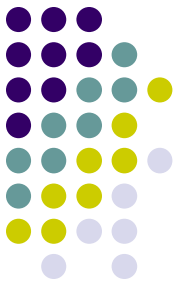


BETON BERSERAT BAJA PADA SUHU TINGGI



Prof. Dr. Ir. Antonius, MT

Jurusan Teknik Sipil

Universitas Islam Sultan Agung (UNISSULA)

Semarang

Beton berserat/fiber

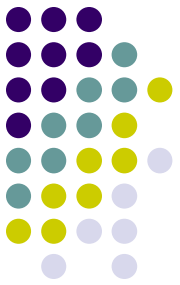
Keuntungan:

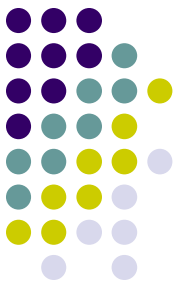
- Ikatan matrix antar penyusun sangat baik,
- Ketegaran retak yang sangat baik
- Menambah kuat tarik beton
- Meningkatkan kuat lentur beton
- Mengurangi sifat getas beton atau lebih daktail



**SANGAT BAIK UNTUK STRUKTUR DI DAERAH
RAWAN GEMPA**

- Mengurangi lendutan





Latar belakang

- Pada struktur bangunan yang mengalami kebakaran, perlindungan baja tulangan pada suhu tinggi sangat diperlukan
- Pengaruh suhu tinggi terhadap beton yang mengandung serat baja perlu dievaluasi

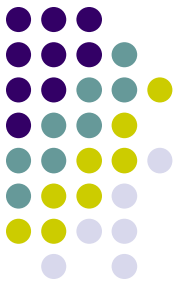
Permasalahan

- Beton berserat baja sangat sensitif terhadap suhu, terlebih pada suhu tinggi,
- Kandungan baja di dalam beton adalah faktor utama yang mempengaruhi perilaku struktur
- Apabila kebakaran yang terjadi cukup lama maka suhu bias mencapai 900°C atau bahkan lebih

Tujuan

- Kapasitas lentur beton berserat baja pada suhu normal hingga suhu tinggi
- Evaluasi tingkat daktilitas lentur

Kasus-kasus kebakaran hingga 900°C atau lebih



Pasar Bitingan – Kudus, 2007

Pasar Kliwon – Kudus, 2010

Beton mengelupas (Spalling)

Beton mengelupas (Spalling)

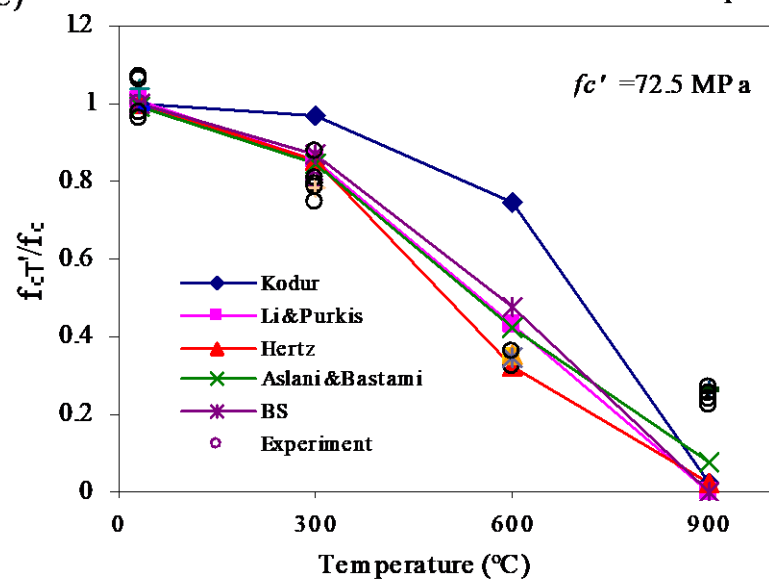
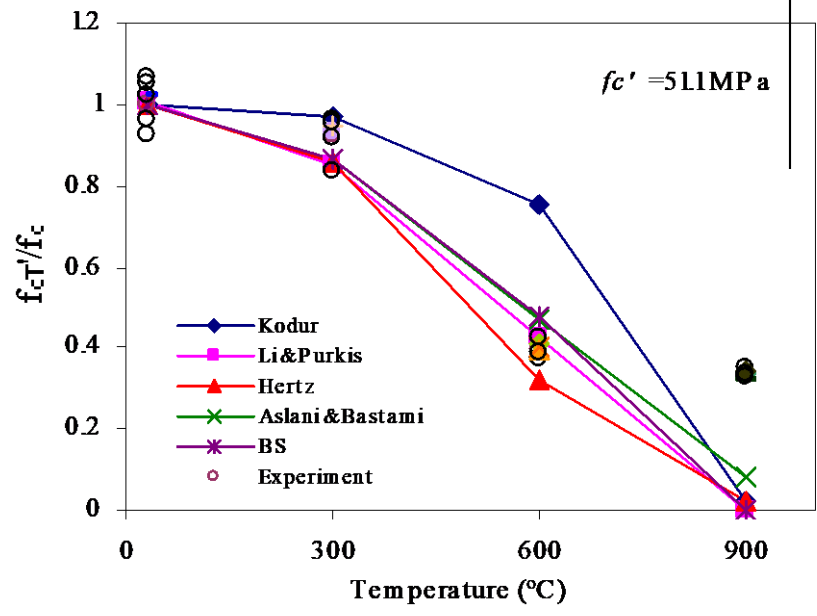
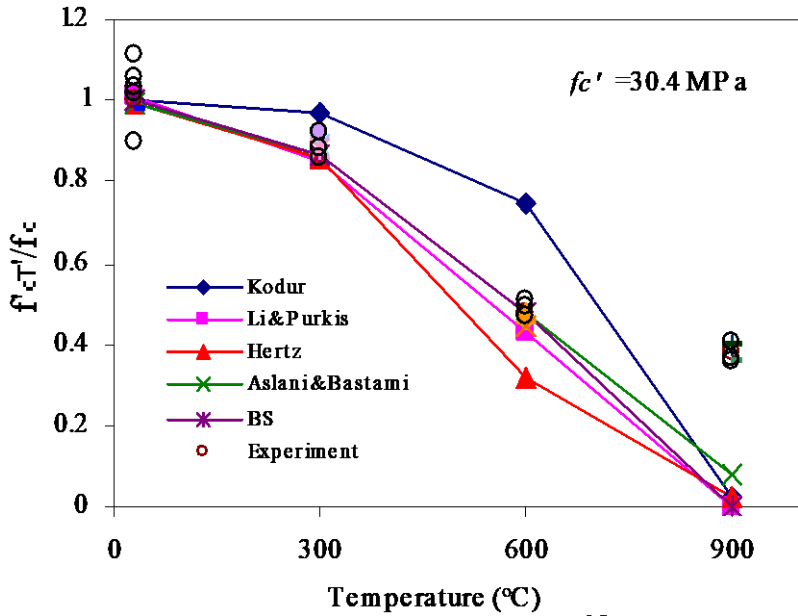
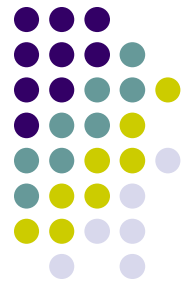


Pasar Johar Semarang, 2015

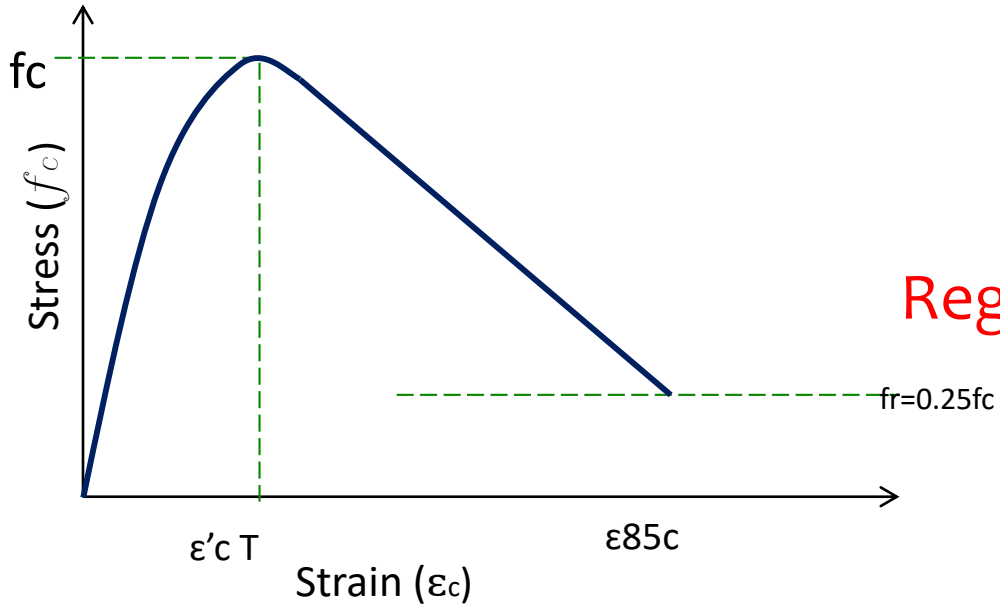
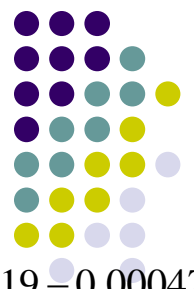


Penelitian awal

Degradasi Kuat Tekan Beton Berserat Baja terhadap Suhu (Antonius,2014)



Stress-strain model for SFRC at elevated temperatures (2014)



$\epsilon_c T = 0.005$

Tegangan

$T < 300^\circ C$: $\frac{f_{cT}'}{f_c'} = 1.0219 - 0.0004T$

$300^\circ C \leq T < 600^\circ C$: $\frac{f_{cT}'}{f_c'} = 1.3795 - 0.0016T$

$T \geq 600^\circ C$: $\frac{f_{cT}'}{f_c'} = 0.591 - 0.0003T$

Regangan

$T < 300^\circ C$: $\frac{\epsilon_{cT}'}{\epsilon_c'} = 1.0074 - 0.0002T$

$300^\circ C \leq T < 600^\circ C$: $\frac{\epsilon_{cT}'}{\epsilon_c'} = 1.225 - 0.001T$

$T \geq 600^\circ C$: $\frac{\epsilon_{cT}'}{\epsilon_c'} = 0.8467 - 0.0003T$

Ascending Branch $\epsilon_c \leq \epsilon'_{cT}$



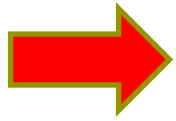
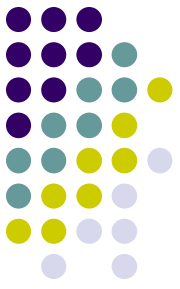
$$f_c = f_{cT}' \left[1 - \left(\frac{\epsilon_{cT}' - \epsilon_c}{\epsilon_{cT}'} \right)^H \right]$$

Descending Branch $\epsilon_c > \epsilon'_{cT}$



$$f_c = f_{cT}' \left[1 - \left(\frac{30(\epsilon_c - \epsilon_{cT}')}{(130 - f_c')\epsilon_{cT}'} \right) \right]$$

Eksperimen balok (Antonius et al. 2019)



Parameter:

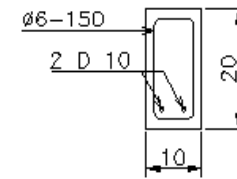
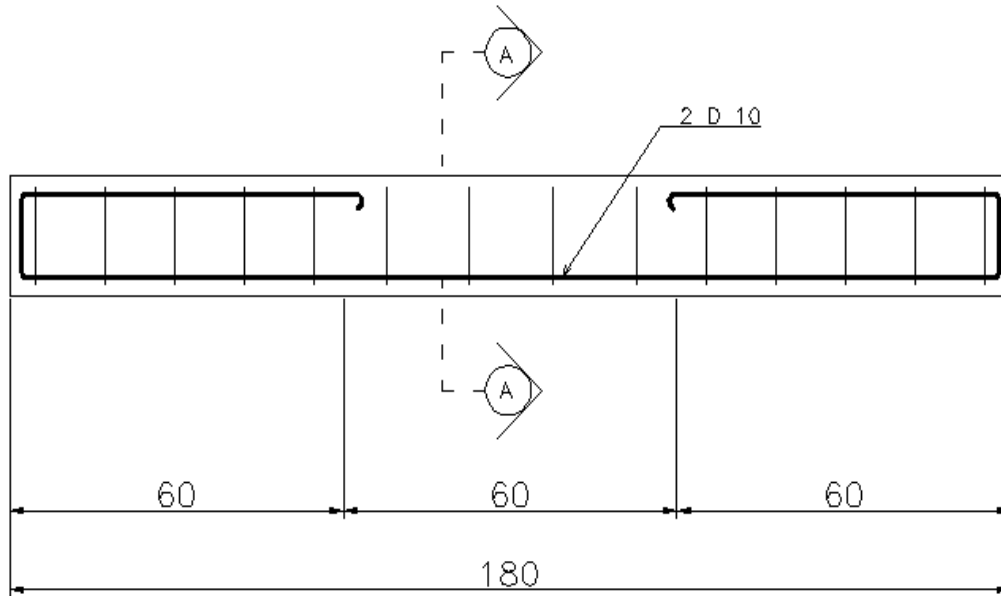
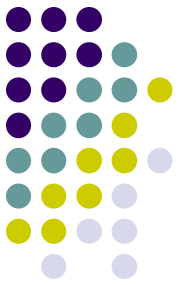
- suhu pembakaran (Normal s/d 900°C),
- pengaruh tulangan tunggal dan ganda

Manfaat:

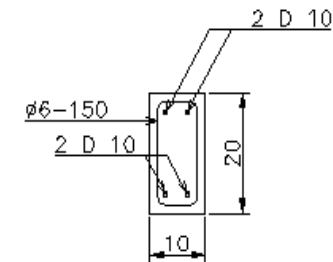
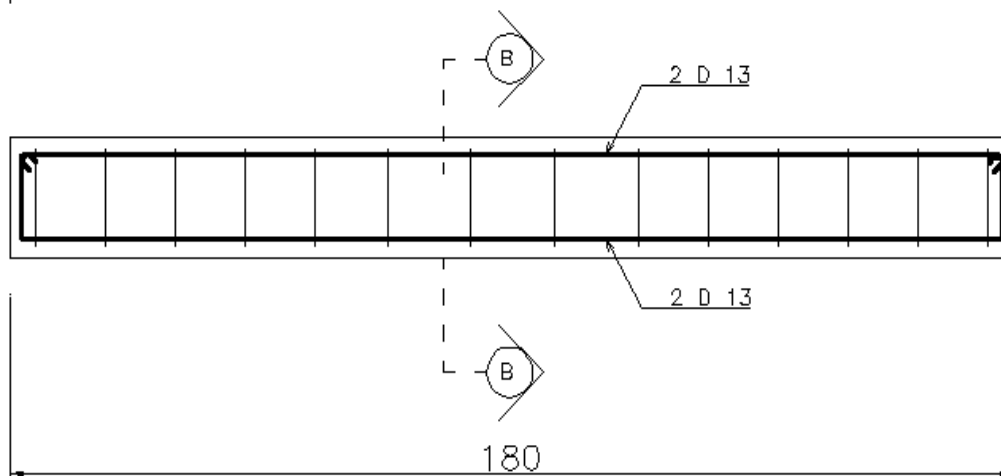
- Aplikasi praktis beton berserat baja terhadap suhu tinggi
- Masukan terhadap standar beton Indonesia (beton berserat)
- Membuka penelitian lanjut: i.e. Beton berserat terkekang (confined), beam-column joint dll

Program Eksperimen

Specimen balok lentur



Balok
Tulangan
Tunggal (SR)

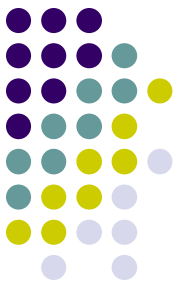


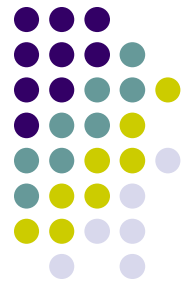
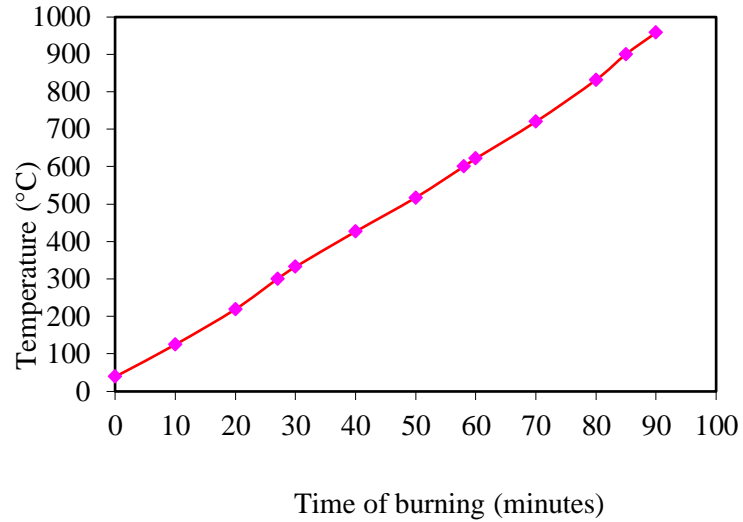
Balok
Tulangan
Ganda (DR)

Material

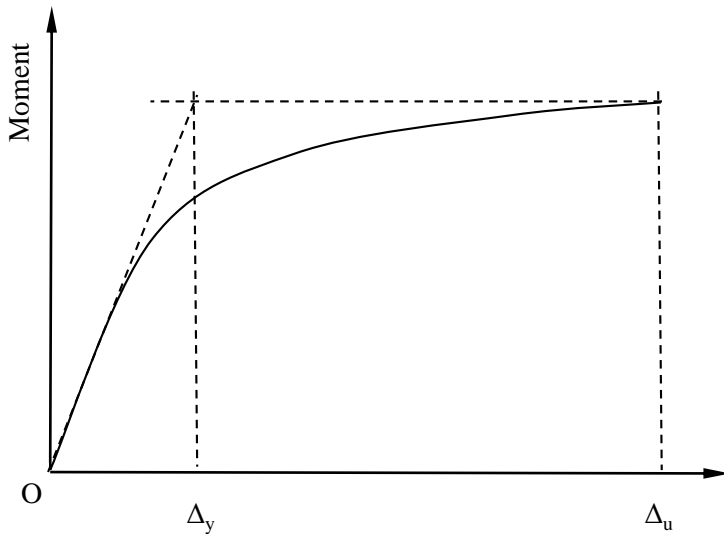
Materials	Kuantitas
Cement (Kg/m ³)	420
Fly Ash (Kg/m ³)	74.11
Water (Lt/m ³)	160
w/c	0.38
Viscocrete 0,5% (lt/m ³)	6.23
Fine Aggregate (Kg/m ³)	697
Coarse Aggregate (Kg/m ³)	1045
fibre/volume %	0.5

Serat baja





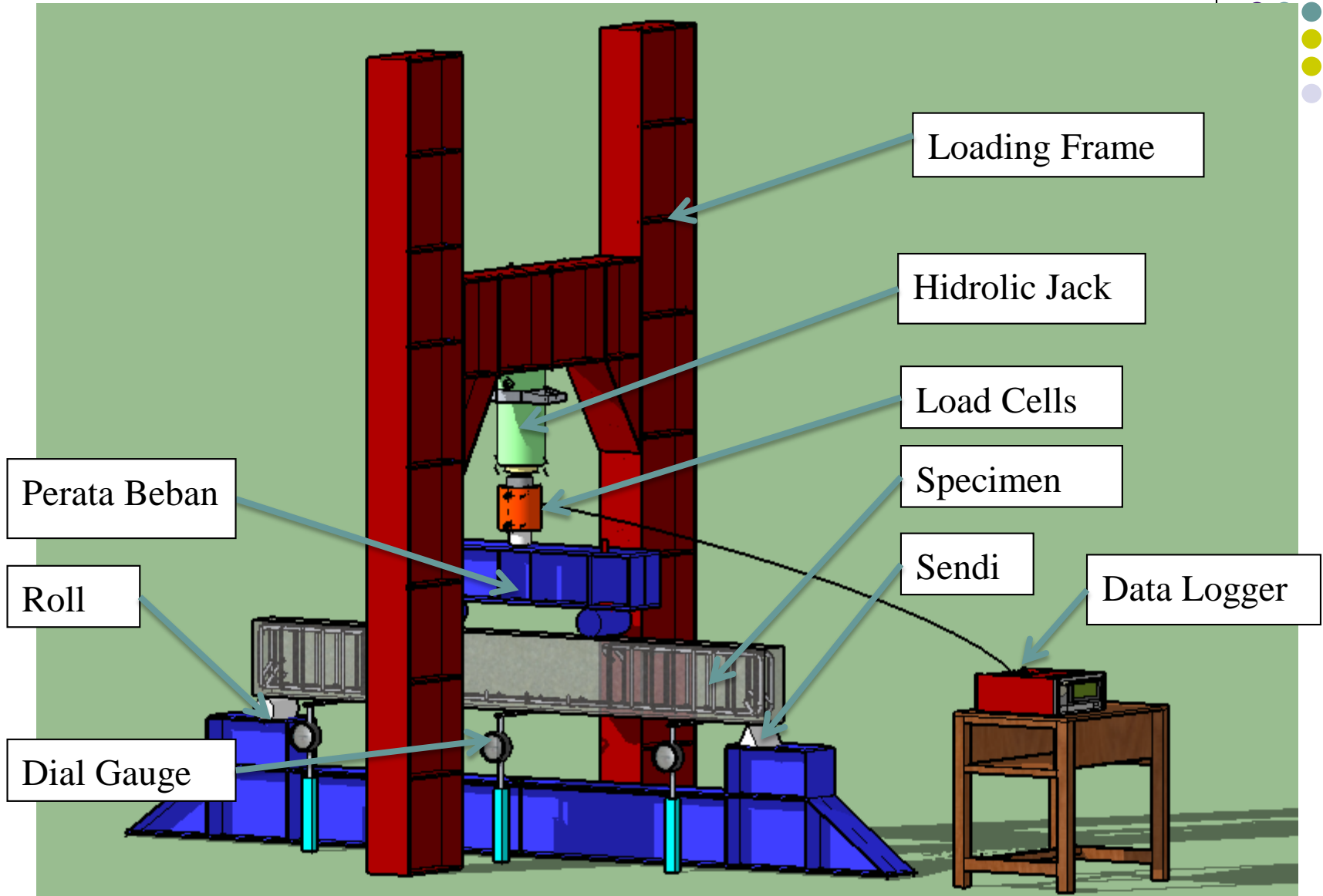
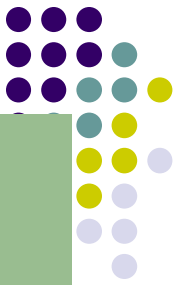
Hubungan waktu pembakaran vs temperatur



Mid-span deflection; Δ
Penentuan daktilitas

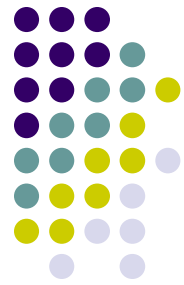
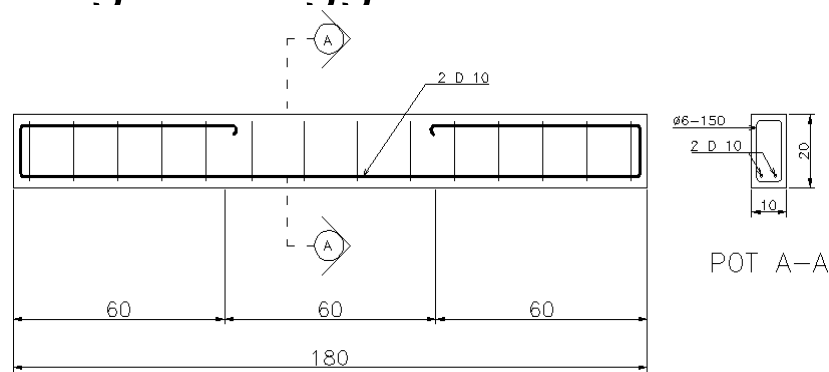
$$\mu = \frac{\Delta_u}{\Delta_y}$$





Skema Pembebanan Lentur



Hasil Eksperimen

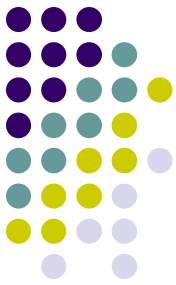
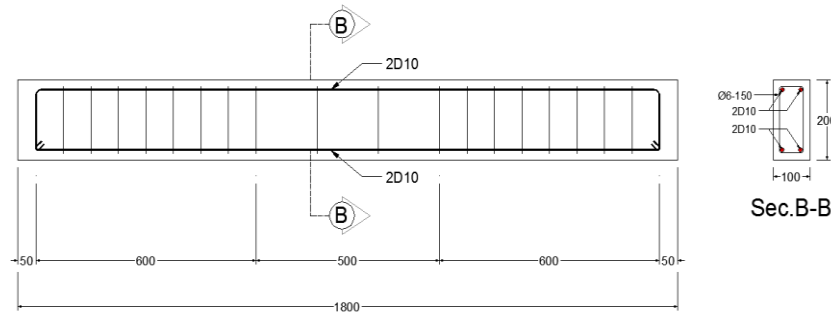
- Balok lentur tunggal







Temperatur	f'c (MPa)	Mode keruntuhan	Momen (kN-m)	Daktilitas
Normal (38°C)	55.9		13.56	10.3
300°C	38.1		12.23	6.7
600°C	28.4		11.13	5.1
900°C	23.8		10.05	5.1

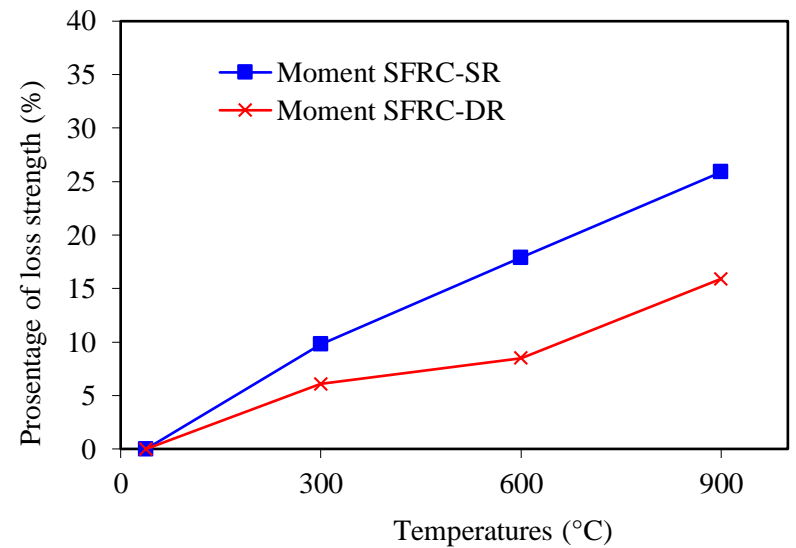
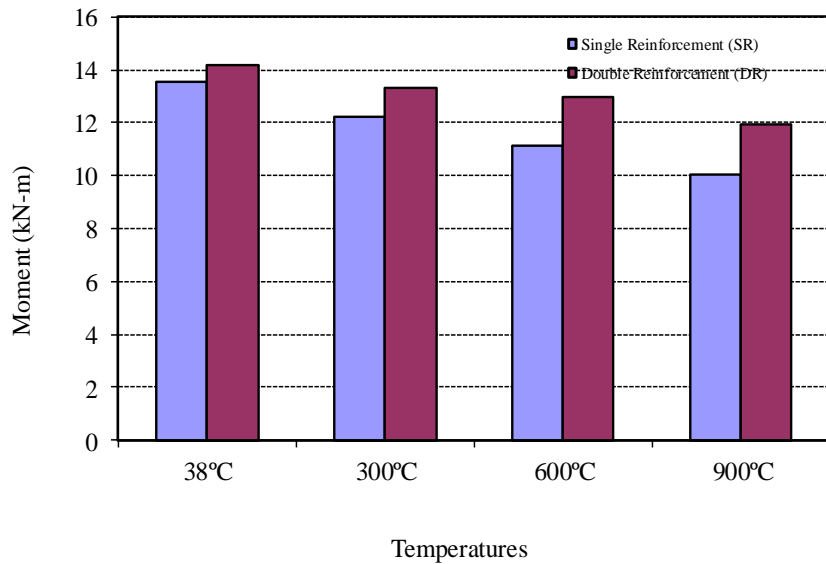
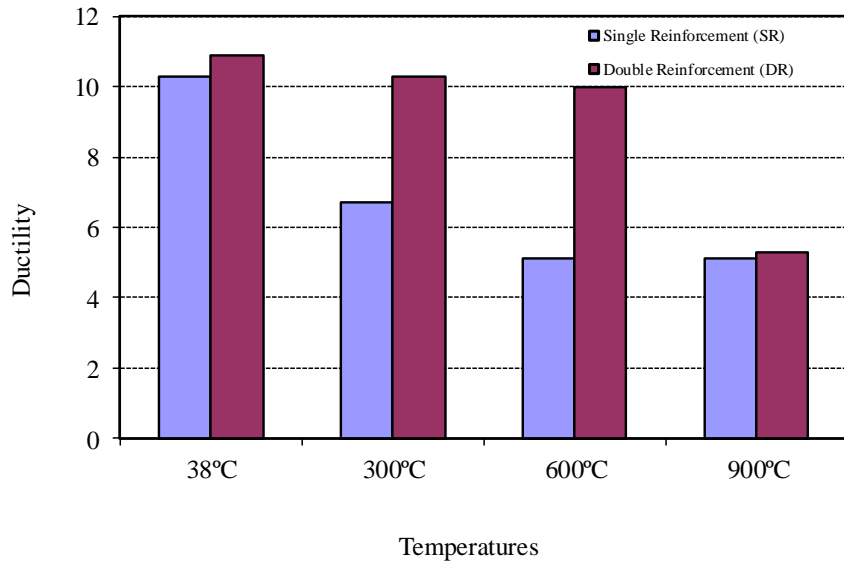
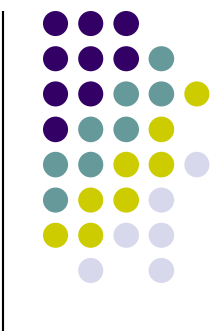
Hasil Eksperimen

- Balok lentur tulangan ganda

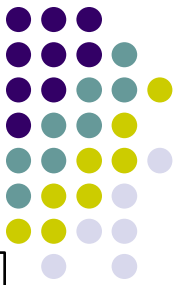


Temperatur	f'_c (MPa)	Mode keruntuhan	Momen (kN-m)	Daktilitas
Normal (38°C)	55.9		14.19	10.9
300°C	38.1		13.32	10.3
600°C	28.4		12.98	10
900°C	23.8		11.94	5.3

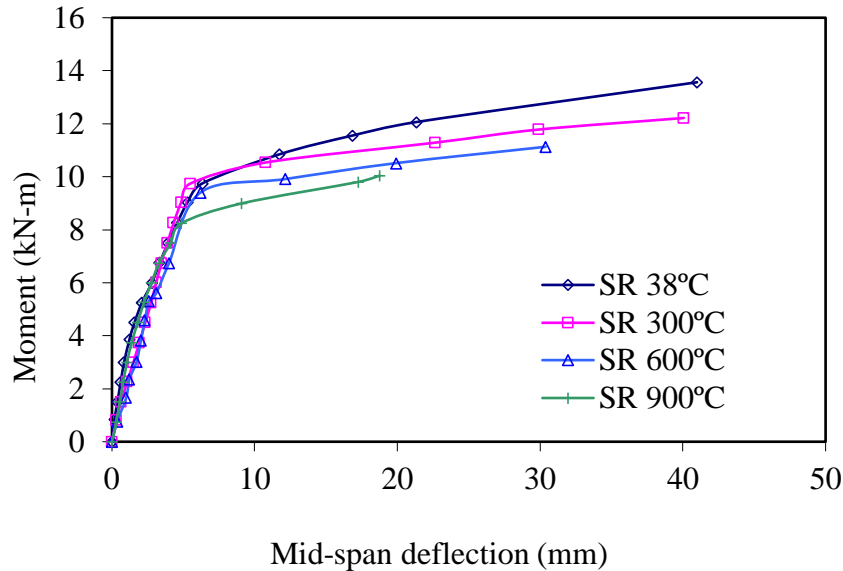
Hasil Eksperimen



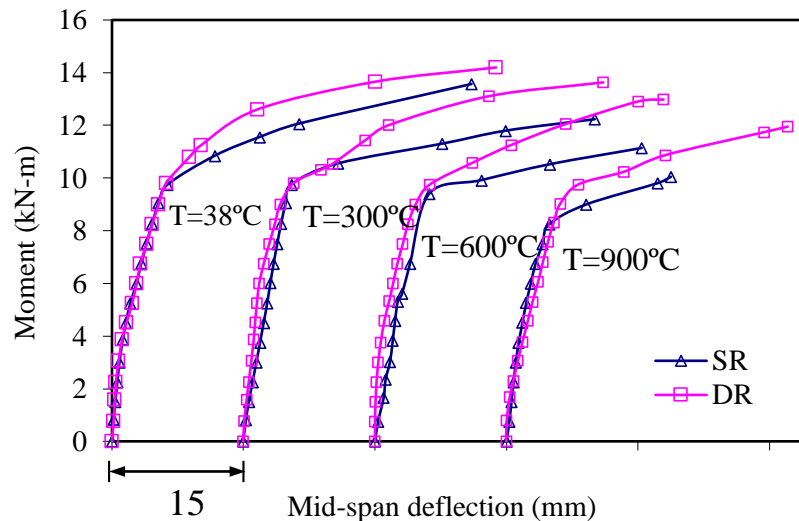
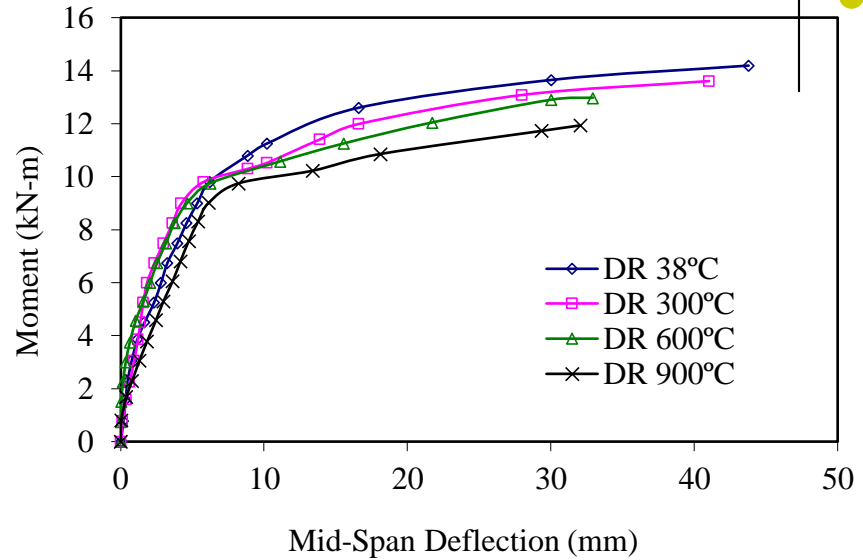
Perilaku Beban – Lendutan Balok



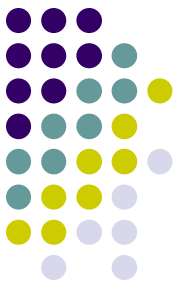
Tulangan Tunggal (SR)



Tulangan Ganda (DR)

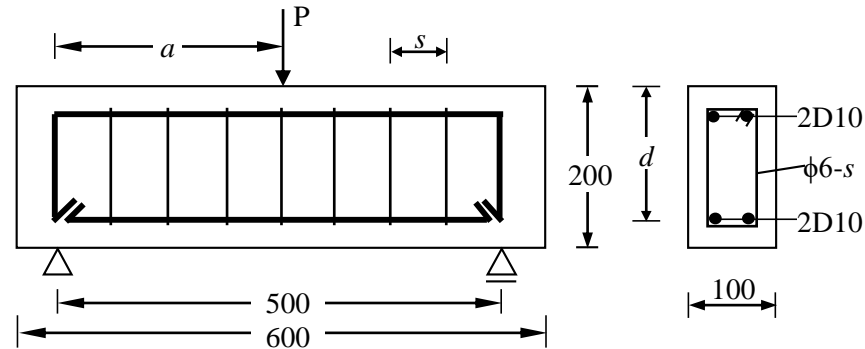
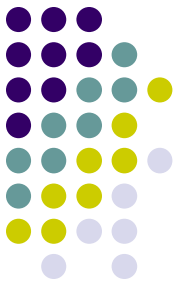


Komparasi analitik vs eksperimen



Specimens	Momen (kN-m)		$M_{\text{analitik}}/M_{\text{eksp}}$
	Analitik	Eksp.	
SR-Normal (38°C)	15.67	13.56	1.15
SR-300°C	13.41	12.23	1.10
SR-600°C	12.08	11.13	1.09
SR-900°C	11.41	10.05	1.14
DR-Normal (38°C)	15.64	14.19	1.10
DR-300°C	13.39	13.32	1.00
DR-600°C	12.56	12.98	0.97
DR-900°C	12.35	11.94	1.03

Mode keruntuhan balok berserat baja terhadap geser (Antonius et al. 2020)



$s=150$ mm

**a) $T=38^{\circ}\text{C}$
(flexural failure)**



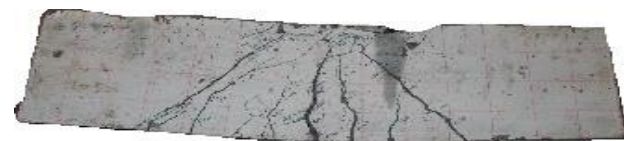
**b) $T=300^{\circ}\text{C}$
(flexural failure)**

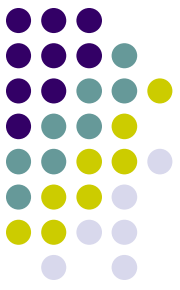


**c) $T=600^{\circ}\text{C}$
(flexural failure)**



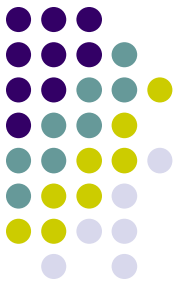
**d) $T=900^{\circ}\text{C}$
(diagonal tension failure)**





Kesimpulan

- Kapasitas lentur balok beton berserat baja yang dipasang tulangan tekan masih lebih tinggi dibandingkan kapasitas balok tanpa menggunakan tulangan tekan pada balok suhu normal hingga suhu tinggi, meskipun perbedaan tersebut tidak terlalu signifikan (<10%).
- Daktilitas balok berserat baja bertulangan tunggal mengalami penurunan signifikan (40%) jika balok dibakar mulai suhu 300C,
- Daktilitas balok dapat terjaga (relative tidak ada perubahan) pada balok bertulangan ganda jika balok dibakar hingga 600C.
- Analisis kapasitas momen balok beton berserat kawat baja yang menggunakan model tegangan-regangan yang diusulkan cukup akurat dalam memprediksi kapasitas momen balok hasil eksperimen.
- Serat baja memegang peranan signifikan dalam mengontrol mode keruntuhan, kapasitas lentur dan daktilitas, meskipun balok dibakar hingga suhu tinggi.



Referensi utama

- Antonius, Purwanto and P. Harprastanti (2019); *Experimental Study of the Flexural Strength and Ductility of Post Burned Steel Fiber RC Beams*; International Journal of Technology, Vol.10(2), 428-437.
- Antonius (2015); Strength and Energy Absorption of High-Strength Steel Fiber Concrete Confined by Circular Hoops. *International Journal of Technology*, Volume 6(2), pp.217-226.
- Antonius, Widhianto, A., Darmayadi, D., Asfari, G.D., 2014a. Fire Resistance of Normal and High-Strength Concrete with Contains of Steel Fibre. *Asian Journal of Civil Engineering*, Volume 15(5), pp.655-669.
- Indonesian National Standard, SNI 2847-2013. Requirements of Structural Concrete for Building (in Indonesian).
- Raouffard, M.M., Nishiyama, M., 2016. Residual Load Bearing Capacity of Reinforced Concrete Frames After Fire. *Journal of Advanced Concrete Technology*, Volume 14, pp.625-633.
- Shaikh, F.U.A., Taweel, M., 2015. Compressive Strength and Failure Behaviour of Fibre Reinforced Concrete at Elevated Temperatures. *Advances in Concrete Construction*, Volume 3(4), pp.283-293.
- Zaidi, K.A., Sharma, U.K., Bhandari, N.M., Bhargava, P., 2016. Post Heated Model of Confined High Strength Fibrous Concrete. *Advances in Civil Engineering*, Article ID 5659817.
- Antonius, Rinda Karlinasari, Purwanto and Aref Widhianto (2020); *Shear Strength and Deformation of Steel Fiber Reinforced Concrete Beams After Fire*, Advances in Concrete Construction (submitted, under review).